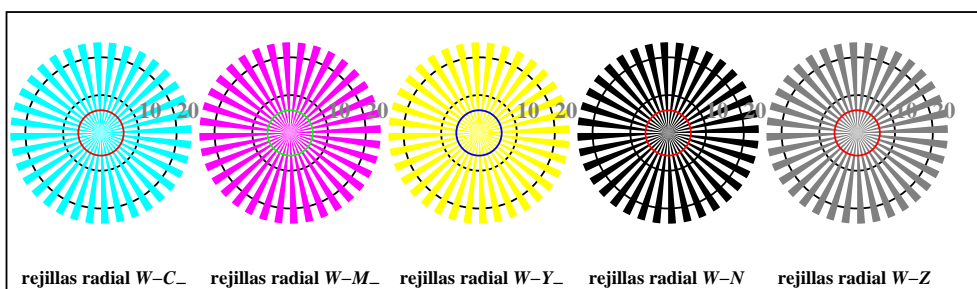


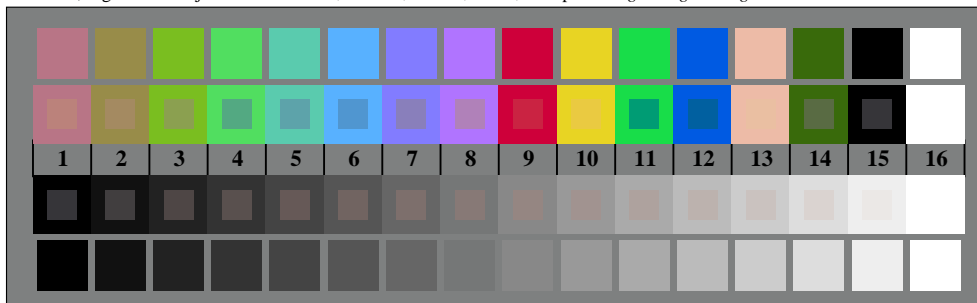
TS911-1, Fig. B4W-: 16 equidistant pasos W-C₋; W-M₋; W-Y₋; W-N; PS operator *rgb/cmy0 set(rgb/cmyk)color*

+--:	lmno	pqrs	tuww
xyz;	hijk	lmno	pqrs
tuvw	defg	c	lmno
pqrs	!abc	hijk	hijk
lmno	+--:	+--:	+--:
hijk	xyz;	xyz;	xyz;
defg	tuvw	tuvw	tuvw
!abc	defg	defg	defg
10	N C_M_Y_Z	6 N C_M_Y_Z	4 N C_M_Y_Z

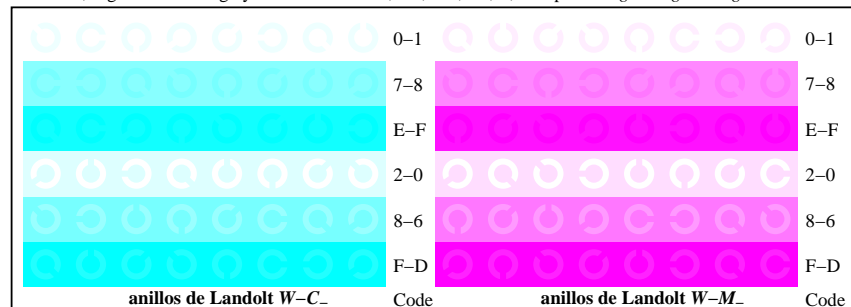
TS911-3, Fig. B5W-: codigo y Landolt annilosN; C₋; M₋; Y₋; Z; PS operator *rgb->rgb_setrgbcolor*



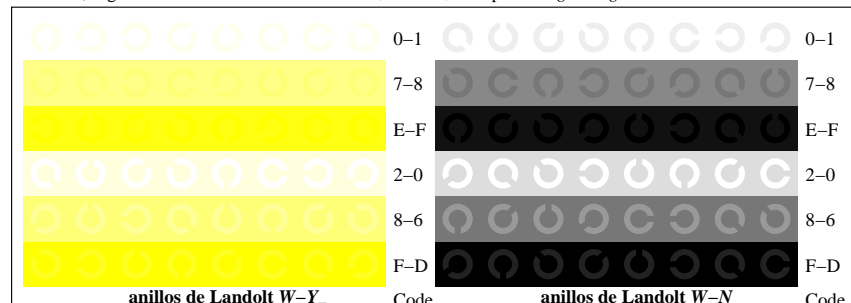
TS910-5, Fig. B2W-: rejillas radial W-C₋; W-M₋; W-Y₋; W-N; PS operator *rgb->rgb_setrgbcolor*



TS910-7, Fig. B3W-: CIE 14 colores del test y 2 + 16 pasos de gris (sf); PS operator *rgb/cmy0 set(rgb/cmyk)color*



TS911-5, Fig. B6W-: anillos de Landolt W-C₋; W-M₋; PS operator *rgb setrgbcolor*



TS911-7, Fig. B7W-: anillos de Landolt W-Y₋; W-N; PS operator *rgb setrgbcolor*